



توسعه سامانه مکاترونیکی بلاذرنگ سنجش استرس، مبتنی بر سیگنال‌های حیاتی

علیرضا گل‌گونه و بهرام تارویردیزاده*

مهندسی مکاترونیک، آزمایشگاه ربات‌های خدمت‌رسان پیشرفته، دانشکده علوم و فنون نوین، دانشگاه تهران، تهران، ایران

چکیده

کمتر کسی در دنیای پر تلاطم و پر تنش امروز، با واژه استرس بیگانه است؛ به طوری که در برخی مواقع، استرس تبدیل به بخشی از زندگی انسان شده‌است. استرس بیش از حد، باعث بروز مشکلاتی می‌شود که علاوه بر اثرات روانی، بیامدهای جسمی بی‌شماری از جمله سکته‌های مغزی، قلبی، فشارخون و غیره را دارد و هیچ عضو یا ارگانی از بدن انسان از تأثیرات آن در امان نیست. هدف این پژوهش، طراحی و ساخت دستگاهی است که با استفاده از سیگنال‌های هدایت الکتریکی پوست (GSR) و فتوپلیتیسموگرافی (PPG) بتواند میزان استرس فرد را به صورت شاخص پیوسته بیان کند. سخت‌افزار این دستگاه مبتنی بر پردازنده ARM و رابط کاربری آن با زبان C++ برنامه‌نویسی شده‌است. به منظور سنجش میزان استرس، الگوسازی با استفاده از شبکه عصبی مصنوعی MLP و شبکه فازی-عصبی تطبیقی (ANFIS) انجام، که در بهترین حالت در الگوسازی با ANFIS، دقت ۹۲/۹۱٪، میانگین خطای ۰/۰۰۷ حاصل شده‌است.

واژگان کلیدی: سیگنال‌های حیاتی، فتوپلیتیسموگرافی، هدایت الکتریکی پوست، شبکه عصبی مصنوعی، شبکه فازی-عصبی تطبیقی

Development of a Mechatronics System to Real-Time Stress Detection Based on Physiological Signals

Alireza Golgouneh and Bahram Tarvirdizadeh*

Advanced Service Robots (ASR) Lab., Department of Mechatronics Engineering, Faculty of New Sciences and Technologies, University of Tehran, Tehran, Iran

Abstract

Stress has affected human's lives in many areas, today. Stress can adversely affect human's health to such a degree as to either cause death or indicate a major contributor to death. Therefore, in recent years, some researchers have focused to developing systems to detect stress and then presenting viable solutions to manage this issue.

Generally, stress can be identified through three different methods including (1) Psychological Evaluation, (2) Behavioral Responses and finally (3) Physiological Signals. Physiological signals are internal signs of functioning the body, and therefore nowadays are commonly used in various medical and non-medical applications. Since these signals are correlated with the stress, they have been commonly used in detection of the stress in humans. Photoplethysmography (PPG) and Galvanic Skin Response (GSR) are two of the most common signals which have been widely used in many stress related studies. PPG is a noninvasive method to measure the blood volume changes in blood vessels and GSR refers to changes in sweat gland activity that are reflective of the intensity of human emotional state.

* Corresponding author

* نویسنده عهده‌دار مکاتبات



Design and fabrication of a real-time handheld system in order to detect and display the stress level is the main aim of this paper. The fabricated stress monitoring device is completely compatible with both wired and wireless sensor devices. The GSR and PPG signals are used in the developed system. The mentioned signals are acquired using appropriate sensors and are displayed to the user after initial signal processing operation. The main processor of the developed system is ARM-cortex A8 and its graphical user interface (GUI) is based on C++ programming language. Artificial Neural Networks such as MLP and Adaptive Neuro-Fuzzy Inference System (ANFIS) are utilized to modeling and estimation of the stress index. The results show that ANFIS model have a good accuracy with a coefficient of determination values of 0.9291 and average relative error of 0.007.

Keywords: physiological signals, Photoplethysmography, galvanic skin response, artificial neural networks, ANFIS

جمله آنها می‌توان به سیگنال ECG^۴ اشاره کرد که فعالیت دستگاه قلبی و عروقی را نشان می‌دهد. از این سیگنال در پژوهش‌های بی‌شماری برای شناسایی استرس استفاده شده‌است. به عنوان مثال، سیناز^۵ و همکارانش [18] با استفاده از این سیگنال و ویژگی‌های سیگنال HRV، الگوریتمی ارائه داده‌اند که می‌تواند استرس فرد را تشخیص دهد. در همین راستا، عارفی شیروان و همکاران او نیز با مقایسه تحلیل خطی و غیرخطی سیگنال تغییرات نرخ ضربان قلب، با استفاده از الگوریتم تکاملی و شبکه عصبی، استرس افراد را کمی‌سازی کرده‌اند [19].

از دیگر علائم فیزیولوژیکی استرس، می‌توان به تغییرات دمای پوست [20],[21]، سیگنال EMG^۶ [22],[23]، سیگنال تنفسی^۷ EEG [24]، سیگنال تنفسی^۸ PPG [25],[26] و قطر مردمک چشم [7],[27]، سیگنال PPG و سیگنال GSR اشاره کرد.

فتوالکتریک پلتیسموگرافی^۹ که فتوپلتیسموگرافی^{۱۰} (PPG) نیز نامیده می‌شود، روشی به طور کامل غیرتهاجمی برای اندازه‌گیری تغییرات حجم خون و آشکارسازی موج ضربان قلب به روش نوری است. میزان شدت امواج مادون قرمز عبوری از بدن بر اثر جذب یا بازتاب تغییر یافته و با آشکارسازهای نوری اندازه‌گیری می‌شود. از آن جاکه اخذ این سیگنال نسبت به سیگنال ECG از لحاظ نصب حسگرهای بسیار راحت‌تر است، امروزه در بسیاری از ابزارهای پزشکی کاربرد گسترده‌ای پیدا کرده‌است [28].

هدايت الکتریکی پوست که با نام‌های GSR^{۱۱}، EDA^{۱۲} و SC^{۱۳}، نیز شناخته می‌شود، در واقع همان تغییر ویژگی‌های الکتریکی پوست است [29]. با افزایش استرس و هیجانات،

⁴ Electrocardiography

⁵ Cinaz

⁶ Electromyography

⁷ Electroencephalography

⁸ Photoelectric plethysmography

⁹ Photoplethysmography

¹⁰ Galvanic Skin Response

¹¹ Electrodermal Activity

¹² Skin Conductance

۱- مقدمه

استرس یکی از مهم‌ترین مسائلی است که هر فرد به طور عادی، در زندگی روزمره خود تجربه می‌کند. استرس بیش از حد می‌تواند منجر به بیماری‌های قلبی، مغزی، دیابت و همچنین، تضعیف دستگاه ایمنی بدن شود [1].

دستگاه عصبی سمپاتیک (SNS)^{۱۴} باعث برانگیختگی انسان و ایجاد پاسخ‌های استرسی فیزیولوژیکی در او او می‌شود [2],[1]. پاسخ‌های فیزیولوژیکی، به آن دسته از اعمال طبیعی بدن گفته می‌شود که غیرارادی هستند و به سختی تحت تأثیر عوامل خارجی قرار می‌گیرند [4]. افزایش عصبانیت، اضطراب، ناراحتی یا ...، نمونه‌هایی از این پاسخ‌ها هستند [5].

درنتیجه این تغییرات، تنفس سریع‌تر می‌شود، فشارخون افزایش [6] و ویژگی‌های صوتی تغییر می‌کنند، دمای پوست دست و پا [7] و میزان تغییرات نرخ قلب (HRV)^{۱۵} کاهش می‌یابند و قطر مردمک چشم نیز تغییر می‌کند. درنهایت، در رفتار انسان نیز تغییراتی، شامل تغییر در نرخ پلکزدن، خیره‌شدن، حرکت سر و تغییرات چهره ایجاد می‌شود [8].

به طور کلی، استرس را می‌توان از سه روش ارزیابی روان‌شناسی [9]، پاسخ‌های رفتاری^{۱۶} نظری تحلیل گفتار [10]، میزان و نحوه استفاده از تلفن همراه [11]، استفاده از رایانه [12]، حالات چهره [13] و از طریق سیگنال‌های فیزیولوژیکی محاسبه کرد [14]. سیگنال‌های فیزیولوژیکی نشان‌گرهایی هستند که اطلاعات دقیقی راجع به بدن افراد می‌دهند [15]؛ و به همین دلیل، امروزه در بسیاری از وسایل و ابزارهای پزشکی و غیرپزشکی از آنها استفاده شده‌است ([15] و [16]). با توجه به این که این سیگنال‌ها بازتاب دقیقی از فعالیت دستگاه عصبی انسان هستند، در بسیاری از پژوهش‌های مرتبط با سنجش استرس نیز از آنها استفاده شده‌است. از

¹ Sympatic Nervous System

² Heart Rate Variability

³ Behavioral Responses



بلادرنگ و پیوسته محاسبه کند. بدین منظور، ابتدا روشی جهت تعیین تابع پیوسته خروجی و سپس مراحل اصلی الگوسازی و ساخت شرح داده شده است. دستگاه ساخته شده مبتنی بر پردازنده ARM-Cortex A8 بوده و علاوه بر سیک و قابل حمل بودن، دارای امکانات بسیاری نظری قابلیت تطبیق با حسگرهای سیم دار و بی سیم، نمایش پیوسته سیگنال ها، قابلیت شبیه سازی مجدد فرآیند اخذ و پردازش سیگنال، ضبط و پخش صدا، ذخیره اطلاعات شخصی افراد، امکان پرسش و پاسخ هنگام اخذ سیگنال، قابلیت اضافه کردن برچسب و نکات بر روی سیگنال ها در زمان های مشخص و بسیاری از موارد دیگر است.

۲- سامانه تشخیص استرس

همان طور که اشاره شد، هدف اصلی از انجام این پژوهش، طراحی و ساخت دستگاهی قدرتمند است که، بتواند علاوه بر نمایش سیگنال ها و ذخیره اطلاعات، میزان استرس فرد را نیز بر اساس سیگنال های فتوپلیسموگرافی (PPG) و هدایت الکتریکی پوست (GSR) محاسبه کند و نمایش دهد. بنابراین، به منظور ایجاد چنین دستگاهی که سبک، کم مصرف و قابل حمل باشد و همچنین فرکانس پردازشی مناسب برای پیاده سازی الگوریتم های تشخیص و پایش استرس بر مبنای روش های یادگیری ماشین و شبکه های عصبی مصنوعی داشته باشد، از پردازنده قدرتمند ARM-Cortex A8، به عنوان پردازنده مرکزی استفاده شده است و رابط کاربری و الگوریتم های پردازشی، با استفاده از زبان C++ و کتابخانه Qt طراحی و پیاده سازی شده است.

در ادامه، به تشریح مراحل الگوسازی و تخمین شاخص استرسی و سپس به جزئیات سخت افزاری و نرم افزاری دستگاه پرداخته شده است.

۱- الگوسازی و تخمین میزان استرس

رونندمای مراحل تخمین استرس در شکل (۱) نمایش داده شده است. منظور از تخمین استرس، ارائه شاخصی پیوسته برای سنجش میزان استرس است. برخلاف پژوهش های پیشین که در آن ها به طور عمده به دسته بندی و تفکیک سطوح استرس پرداخته شده است، در این پژوهش روشی ارائه شده است که با آن بتوان شاخص استرسی افراد را به صورت تابعی پیوسته بیان کرد و عملیات الگوسازی را انجام داد. جزئیات این روش در ادامه بررسی شده است.

مقاومت الکتریکی پوست کاهش و درنتیجه رسانایی الکتریکی افزایش می یابد [30],[35]. از طریق قراردادن دو الکترود بر روی سطح پوست و اعمال جریان ضعیف قابل اندازه گیری است. GSR یکی از پاسخ های فیزیولوژیکی بدن است که بهترین و سریع ترین واکنش ها را به استرس دارد [32]. در واقع وجود رابطه به نسبه خطی آن با استرس [33]، باعث شده است که از این سیگنال، در بسیاری از کاوش ها استفاده شود [25],[29],[33].

همان طور که اشاره شد، استرس، یکی از عواملی است که هر فرد به طور طبیعی آن را در زندگی تجربه می کند. با پیشرفت هشدن محیط پیرامون انسان و افزایش عوامل استرس زا، وجود سامانه های که بتواند استرس افراد را تشخیص و در موقع ضروری راهنمایی های لازم را برای کاهش آن به فرد ارائه دهد، لازم و سودمند است. این ابزارها، به طور معمول دارای حسگرهایی هستند که شاخصه های فیزیولوژیکی بدن را اندازه می گیرند و سپس با روش های مختلف، نظری روش های یادگیری ماشین، یا شبکه های عصبی مصنوعی میزان استرس را تشخیص می دهند.

به طور کلی، می توان موضوع تشخیص استرس را از دو رویکرد بررسی کرد. در رویکرد نخست، بسیاری از پژوهش ها، به طبقه بندی و تفکیک سطوح استرس به دو یا چند وضعیت پرداخته اند که از آن جمله می توان به پژوهش های [34],[27], [36],[37],[38],[39],[40] اشاره کرد. در همین راستا، سامانه هایی نیز طراحی شده اند که می توانند به صورت برون خط^۱ و برخط^۲، سطح استرس را در افراد شناسایی کنند. به عنوان مثال، در پژوهش [41]، نرم افزاری قابل نصب بر روی سیستم عامل اندروید طراحی شده است که می تواند با استفاده از سیگنال های ECG و GSR و روش های SVM^۳ و درخت تصمیم J48 سطح استرس را در افراد از یک دیگر تفکیک کند.

در رویکرد دوم، هدف تخمین میزان استرس و ارائه شاخص استرسی پیوسته است که به سبب پیچیدگی در الگوسازی و ایجاد برچسب استرس پیوسته، در کمتر پژوهشی به آن اشاره شده است.

بنابراین، در پژوهش حاضر، سامانه های طراحی، الگوسازی و ساخته شده است که می تواند با استفاده از حسگرهای PPG و GSR، میزان استرس را در افراد به صورت

¹ Offline

² Online

³ Support Vector Machine

با حرکت این پنجره در بازه‌های زمانی استرسی و آرامش، ویژگی‌های مؤثر در هر ثانیه استخراج و به عنوان ورودی‌های الگو در نظر گرفته می‌شود.

برای تعیین خروجی پیوسته در فرآیند آموزش، پروتکلی اتخاذ شده است تا بتوان مقدار استرس را در هر پنجره زمانی به صورت نسبی بیان کرد؛ بنابراین، زمانی که پنجره زمانی به طور کامل، در وضعیت «استرس»، «معمولی» و «آرامش» قرار گیرد، به ترتیب مقدار خروجی ۱، صفر و -۱ برای آن در نظر گرفته می‌شود. همچنین پنجه‌هایی که بین دو وضعیت قرار بگیرند، بر اساس رابطه (۱)، مقداری بین +۱ تا -۱ می‌گیرند.

به عنوان مثال، در شکل (۳)، به پنجره شماره یک که به طور کامل در بازه وضعیت «معمولی» قرار دارد، مقدار صفر داده می‌شود. پنجره شماره دو، یازده ثانیه ($n = 12$) در وضعیت «استرسی» و نه ثانیه در وضعیت «معمولی» قرار دارد؛ بنابراین، طبق رابطه (۱)، مقدار $f(x_{12}) = 0.24$ را به خود می‌گیرد. به پنجره شماره سه نیز که تماماً در بازه استرسی قرار دارد، مقدار +۱ داده می‌شود.

$$SI(x) = \begin{cases} f(x), & t_{normal} < w < t_{stress} \\ 1 - f(x), & t_{stress} < w < t_{normal} \\ f(x) - 1, & t_{relaxing} < w < t_{normal} \\ -f(x), & t_{normal} < w < t_{relaxing} \end{cases} \quad (1)$$

که در آن:

$$f(x_n) = e^{\frac{-(x_n - c)^2}{2\sigma^2}}, \quad \sigma = 0.3, \quad c = 0$$

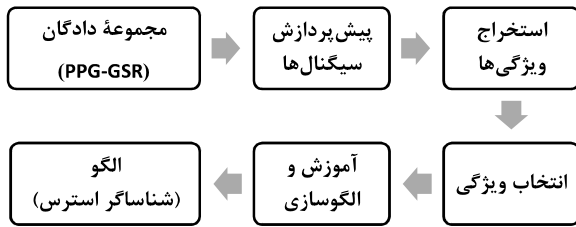
$$x_n = -1 + 0.05 \times (n - 1), \quad 1 \leq n \leq 20$$

در رابطه‌های بالا، $SI(x)$ نشان‌دهنده تابع استرسی، n شماره پنجره، و عبارت‌های $t_{relaxing}$ و t_{normal} و t_{stress} به ترتیب نشان‌دهنده زمان شروع استرس، وضعیت طبیعی و آرامش هستند. مجموع فریم‌های پردازشی که همان مشاهدات این پژوهش در فرآیند الگوسازی هستند، ۶۱۰۱ عدد است. در ادامه، به نحوه انتخاب و الگوسازی استرس پرداخته شده است.

۲-۱-۳-۱-۲- پردازش و استخراج ویژگی از سیگنال‌ها

۲-۱-۳-۱-۲- سیگنال GSR

همان‌طور که اشاره شد، هدایت الکتریکی پوست که با نام‌های GSR، EDA و SC، نیز شناخته می‌شود، در واقع همان، تغییر ویژگی‌های الکتریکی پوست است. با افزایش استرس و هیجانات، مقاومت الکتریکی پوست کاهش و درنتیجه رسانایی الکتریکی افزایش می‌یابد. سیگنال GSR از طریق قراردادن دو الکترود بر روی سطح پوست و اعمال جریان ضعیف قابل اندازه‌گیری است.



(شکل-۱): روند نمایی تشخیص استرس

(Figure-1): Stress detection diagram

۲-۱-۱- مجموعه دادگان

پایگاه داده استفاده شده در این پژوهش، حاصل پژوهش‌های پژوهشگاه توسعه فناوری‌های پیشرفته خواجه‌نصیرالدین طوسی [42] و شامل ده ثبت استرسی است که متخصصان، آن را با شرایط استاندارد- دمای ۲۵ درجه سانتی‌گراد و به دور از آلودگی صوتی و تصویری- ثبت کرده‌اند. عوامل ایجاد آرامش و استرس در هر ثبت، در جدول (۱) ذکر شده است.

(جدول-۱): داده‌های ثبت شده به همراه توضیح عوامل استرس زا و آرامش بخش

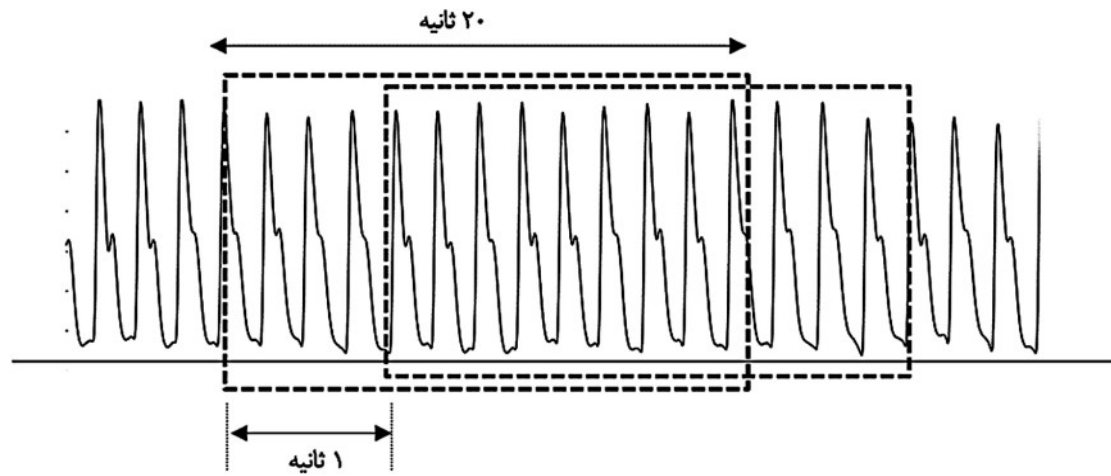
(Table-1): Recorded data and their stress and relaxation related explanations

ردیف	عامل استرس زا	عامل آرامش زا
۱	فکر کردن به عوامل آرامش بخش	فکر کردن به عوامل استرس زا
۲	صدای دریا	فکر کردن به فردی که خاطره بدی از او دارد
۳	صدای دریا	نماینگی از کشتن یک فرد با تبر؛ منزجر کننده
۴	صدای دریا	نماینگی از تعقیب و گریز
۵	صدای دریا	نماینگی از تعقیب و گریز و پرتاب از هواپیما
۶	صدای دریا	نماینگی از تعقیب و گریز
۷	صدای دریا	نماینگی تخلی از تعقیب و گریز
۸	صدای دریا	نماینگ کشتن یک فرد توسط خودش
۹	صدای دریا	نماینگ کشتن یک فرد توسط خودش
۱۰	صدای دریا	نماینگ تعقیب و گریز

۲-۱-۲- پروتکل استخراج ویژگی

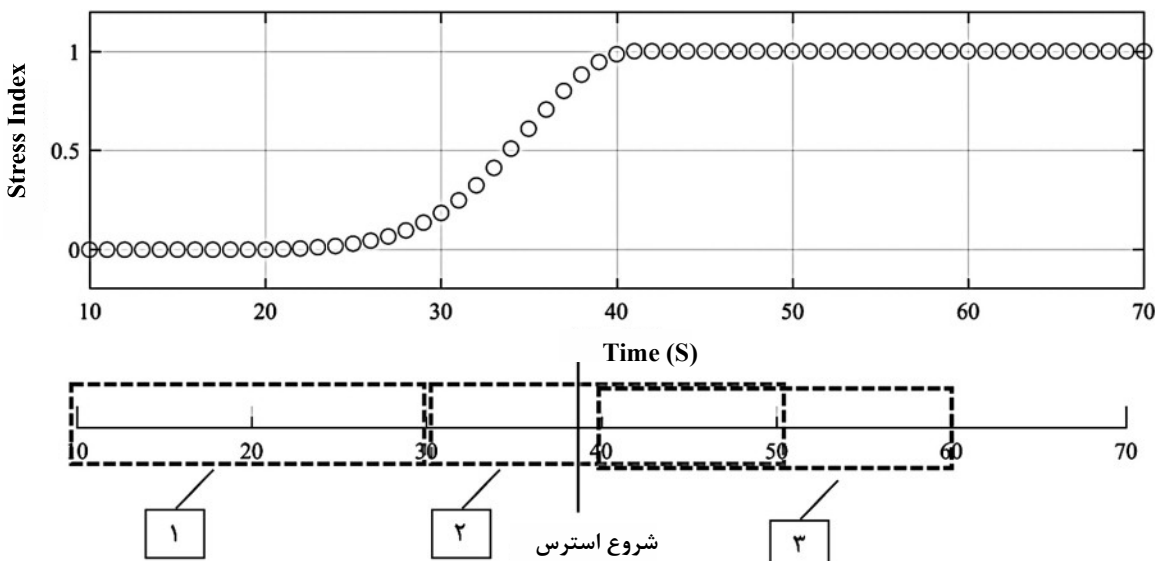
به منظور سنجش استرس به صورت بلادرنگ، از یک پنجره زمانی استفاده شده است که بر روی زمان شیفت پیدا می‌کند. طول این پنجره زمانی، برابر با بیست ثانیه انتخاب شده است که در هر ثانیه، یک گام، به جلو حرکت می‌کند. شکل (۲) نحوه حرکت این پنجره را، متناسب با زمان را نشان می‌دهد.





(شکل-۲): پنجره زمانی مورد استفاده برای تحلیل سیگنال به صورت برخط

(Figure-2): Required time windows to online signal analysis



(شکل-۳): نوعه تعیین تابع و برچسب‌گذاری پبوسته استروس به وسیله پنجره‌های زمانی

(Figure-3): Continuous labeling of the stress via time windows

ویژگی‌هایی که از هر پنجره بیست ثانیه‌ای از سیگنال GSR استخراج می‌شوند، عبارت‌اند از: میانگین سیگنال GSR (SCL)، انحراف معیار سیگنال (STD)، شیب خطی که در هر پنجره به سیگنال برآش می‌شود (Slope)، میانگین دامنه پاسخ‌های رسانایی (MeanAmplitude) و میانگین زمان بین شروع تا پایان هر پاسخ که به زمان صعود معروف است (Mean Rise Time).

۲-۱-۳-۲- سیگنال PPG

امروزه، تغییرات نرخ ضربان قلب (HRV) که درواقع همان نوسان‌های نرخ ضربان گره سینوسی است، ابزار بسیار مهمی

پیش از استخراج ویژگی، ابتدا بر روی این سیگنال، فیلتر میانگین متحرک^۱ با تعداد پنج داده مؤثر، اعمال می‌شود. مرحله بعد، شناسایی پاسخ‌های رسانایی پوست (SCR)^۲ است که توسط الگوریتمی که در [43] ارائه شده‌است، انجام می‌پذیرد. عملکرد الگوریتم بالا به این صورت است که نخست، با استفاده از مشتق نخست، نقاط کمینه محلی شناسایی و سپس نزدیک‌ترین بیشینه نسبت به هر کمینه محلی انتخاب می‌شود. بیشترین مدت زمان رخدادن یک پاسخ رسانایی پوست، به طور معمول ده ثانیه است [44]. بنابراین، الگوریتم تنها ده ثانیه به دنبال پیک بعد از شروع پاسخ پوست می‌شود.

^۱ Moving Average

^۲ Skin Conductance Response

جهت کم کردن وابستگی الگوسازی به تغییرات بین افراد، به طور معمول ویژگی های استخراج شده را، یا نسبت به خط پایه که به طور معمول حالت ریلکس و بدون استرس افراد است، اندازه می گیرند یا دامنه سیگنال افراد را بین صفر تا یک نرمال سازی می کنند؛ ولی از روش های ذکر شده، نمی توان در حالت برخط بهره برد؛ بنابراین، در این قسمت، از روش ارائه شده پژوهش [41]، استفاده شده است؛ بنابراین، به منظور کاهش تغییرات درون فردی، با استفاده از روابط زیر ویژگی های جدید نرمال سازی شده تعریف می شود:

$$CoV(SC) = \frac{STD}{MeanSCL} \quad (4)$$

$$MeanAmplNorm = \frac{MeanAmplitude}{MeanSCL} \quad (5)$$

$$CoV(NN) = \frac{SDNN}{MeanIBI} \quad (6)$$

$$RMSSDNorm = \frac{RMSSD}{MeanIBI} \quad (7)$$

لازم به ذکر است که تعداد پیک ها، Mean Rise Time و LF/HF، LFnorm، HFnorm، pNN50، LFnorm و HFnorm نیازی به نرمال سازی ندارند [50]. همچنین، نتایج الگوسازی پس از اعمال هنجار سازی بر روی ویژگی «شیب» نشان می دهند که نرمال کردن این ویژگی تأثیر بهسازی بر روی خروجی الگو ندارد و عدم هنجار سازی بر روی برخی از دادگان موجود در دیتابست این پژوهش (جدول ۱)، نتایج بهتری را در بر داشته است. بنابراین، این ویژگی نیز هنجار سازی نشده است.

۵-۲-۱-۳- انتخاب ویژگی های بهینه

در این پژوهش، با توجه به این که هدف، به دست آوردن الگوی مناسب و سنجش بلادرنگ شاخص استرسی است، پیش از ورود به مرحله الگوسازی، باید از بین ویژگی های استخراج شده، ویژگی های بهینه انتخاب شوند. در این پژوهش، از تحلیل همبستگی پیرسون^۳ استفاده شده است. این روش، جزء روش های انتخاب ویژگی از نوع فیلتری است و مستقل از نوع طبقه بند، بر اساس ماهیت ویژگی ها، آن ها را انتخاب می کند [51]. بنابراین با استفاده از تحلیل همبستگی، از بین ویژگی های یاد شده، ویژگی های بهینه انتخاب شده است. در نهایت، ویژگی های CoV(NN)، RMSSDNorm و pNN50 از سیگنال PPG و پنج ویژگی Mean Number of Peaks

برای تحلیل سیستم قلبی-عروقی و همچنین، دستگاه اعصاب خودکار است. اندازه گیری غیر تهاجمی و آسان، قابلیت تکرار پذیری و فراهم کردن اطلاعات مفید در مورد بسیاری از بیماری های قلبی و حالات روحی، پژوهش گران را بیش از پیش به استفاده از آن علاقه مند ساخته است. پژوهش ها نشان داده اند که ویژگی های سیگنال HRV به دست آمده، از روش الکتروکاردیو گرافی و فتوپلیتیسمو گرافی بسیار شبیه به یک دیگر هستند؛ بنابراین می توان از ویژگی های PRV^۱ به جای PRV برهه برد ([28] و [45] و [46]) یا به عبارتی دیگر، HRV همان معادل HRV در سیگنال PPG است.

قبل از استخراج ویژگی از سیگنال PPG، فواصل زمانی بین هر پالس (IBI^۲) توسط روش ارائه شده در [47] تصحیح می شوند. چون مقادیر نادرست، می تواند تأثیر بهسازی بر روی تحلیل و تحلیل PRV و درنتیجه استخراج ویژگی ها داشته باشد [48]. در این روش، اختلاف بین هر مقدار IBI جدید با میانگین پنج مقدار قبلی مقایسه و در صورتی که از مقدار آستانه تعیین شده بیشتر باشد، طبق الگوریتم ارائه شده با مقادیر درست جایگزین می شوند؛ سپس، طیف چگالی توان (PSD)، با روش میانگین گیری و لج [49]، محاسبه و ویژگی ها از سیگنال استخراج شده اند. ویژگی هایی که در حوزه فرکانس از سیگنال استخراج شده اند، عبارت اند از: توان در باند فرکانسی پایین (0.04-0.15 Hz) یا با اختصار LF، توان در باند فرکانسی بالا (0.5-0.4) یا با اختصار HF، نسبت LF/HF و توان فرکانسی نرمال سازی شده (LFnorm و HFnorm) که به صورت رابطه (۲) و (۳) محاسبه می شوند:

$$LFnorm = \frac{LF}{LF + HF} \quad (2)$$

$$HFnorm = \frac{HF}{LF + HF} \quad (3)$$

همچنین ویژگی های استخراج شده در حوزه زمان عبارت اند از: میانگین فاصله زمانی بین پیک ها (MeanIBI)، انحراف معیار فواصل بین پیک های سیگنال (SDNN)، جذر میانگین مربع مربع اختلاف فواصل پی در پی (RMSSD) و نسبت تعداد فاصله زمانی پیک های پیاپی که بیش از پنجاه میلی ثانیه هستند، به تعداد کل پیک ها (pNN50).

۴-۱-۲- هنجار سازی ویژگی ها

تغییرات سیگنال های حیاتی هر فرد، هنگام مواجه شدن با استرس، بسیار متغیر و متفاوت است. در مطالعه های مشابه،

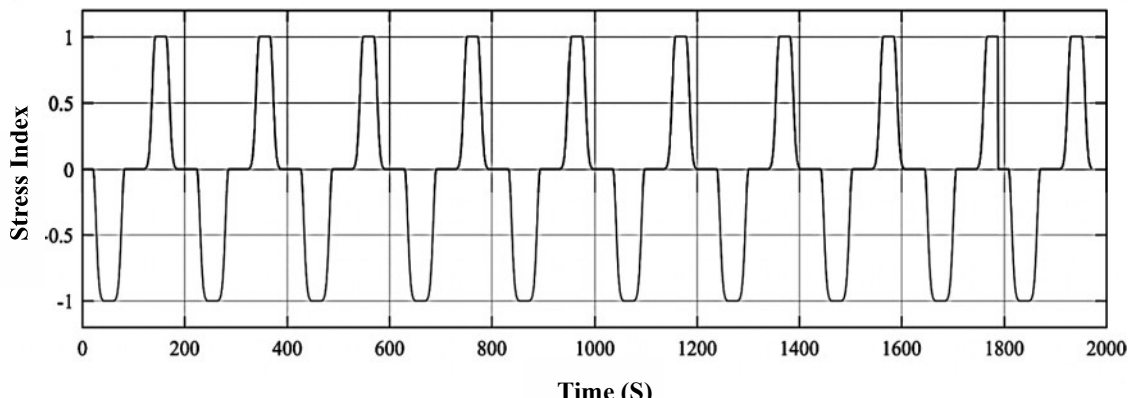
¹ Pulse Rate Variability

² Inter Beat Interval

³ Pearson

پنجره‌گذاری بر روی سیگنال، به دست آمده است. از مجموع ۶۱۰ نمونه آموزشی، به منظور الگوسازی بهتر و دقیق‌تر، ۱۹۷۱ نمونه برای الگوسازی انتخاب شده است. انتخاب این نمونه‌ها به این علت بوده است که با توجه به مجموعه دادگان در اختیار، تعداد پنجره‌های پردازشی که مربوط به وضعیتی ویژه هستند و خروجی $+1$ ، صفر یا -1 دارند، بیشتر از پنجره‌هایی است که مقادیر فازی دارند. بنابراین، به منظور ایجاد فرصت برابر برای ساختن الگو و طی کردن فرآیند آموزش، ۱۹۷۱ پنجره‌پردازشی انتخاب شده است.

هفتاد درصد از داده‌های انتخاب شده برای آموزش و سی درصد برای آزمایش به صورت اتفاقی از مجموعه دادگان انتخاب شده، سپس فرآیند الگوسازی با استفاده از هر الگوریتم، ده بار تکرار و در نهایت، میانگین نتایج آن‌ها گزارش شده است. در شکل (۴) تابع استرسی هدف نشان داده شده است. با توجه به این نکات، الگوسازی استرسی باید به نحوی باشد که بتواند رفتار این تابع را به خوبی الگو کند. لازم به ذکر است که محور افقی این نمودار نیز زمان است. اما تنها مقادیر درست را دربرمی‌گیرد. به عنوان مثال، مقداری که این تابع در ثانیه‌صدم، با توجه به وضعیت پنجره زمانی بیست‌ثانیه‌ای از ثانیه، ۸۱ تا ۱۰۰ بوده است؛ به طور مشابه، برای ثانیه ۱۰۱ نیز پنجره زمانی بین ثانیه ۸۲ تا ۱۰۱ درست است.



(Figure-4): Continuous stress output

سامانه پردازش اطلاعات است. این سامانه از شمار زیادی عناصر پردازشی فوق العاده بهم پیوسته با نام نورون تشکیل شده که برای حل یک مسئله با هم هماهنگ عمل می‌کنند و با سیناپس‌ها (ارتباطات الکترومغناطیسی) اطلاعات را منتقل می‌کنند. از آنجا که امروزه، استفاده از شبکه‌های عصبی مصنوعی در بسیاری از پژوهش‌ها رایج و متداول شده، از ذکر جزئیات مربوط به معرفی لایه‌های، توابع فعال‌سازی، نحوه

سیگنال GSR انتخاب شده‌اند.

٦-١-٢- الگوسازی

الگوپردازی استرس، به این مفهوم است که پس از گذشت بیست ثانیه پس از شروع ثبت سیگنال، در هر ثانیه یک مقدار برای استرس تخمین زده شود. به این منظور، در این پژوهش از شبکه عصبی مصنوعی MLP، فازی-عصبی تطبیقی (ANFIS) استفاده و نتایج آن‌ها با یکدیگر مقایسه شده است. ساختار شبکه MLP به‌ نحوی است که می‌توان از تنظیمات مختلفی جهت تنظیم الگوریتم و شاخصه‌های یادگیری استفاده کرد. همچنین، منطق فازی نسبت به دادگان غیرصریح و شبکه‌های عصبی نسبت به دادگان نویزی تحمل پذیری بالای دارند. توانایی یادگیری شبکه عصبی، راهکار مناسبی برای تنظیم دانش خبره و تولید خودکار قوانین و توابع عضویت فازی است. از سوی دیگر منطق فازی امکان گسترش توانایی برونویابی شبکه عصبی با دادگان آموزشی محدود را فراهم می‌سازد. در این نوع الگوپردازی، هدف، تخمین مقداری پیوسته برای استرس بر اساس سیگنال‌های حیاتی افراد است. بنابراین، از ویژگی‌هایی که در قسمت پیش به آن‌ها اشاره شد، استفاده شده است. خروجی استرسی نیز، به صورت پیوسته و با

Figure 1. A schematic diagram of the structure of the *l*-shaped microtubule.

1 2 3 4 5 6 7 8 9 10 11 12 13 14 15 16 17 18 19 20

1 2 3 4 5 6 7 8 9 10 11 12 13 14 15 16 17 18 19 20

A horizontal line with five small circles spaced evenly along it, used as a template for drawing musical staves.

1200 1400 1600 1800 2000

$\psi(\mathbf{S})$

(شكل - ٤): خرو

us stress output

شکه‌های عصر مصنوعی و شهادت محاسبات

نیز اگر این شرکت را شناسد، می‌تواند از این داده‌ها برای تجزیه و تحلیل اطلاعات استفاده کند.

نویسی برای یاد نیری ماسیی در جهت پیش‌بینی پاسخ‌های

خروجی از سامانه‌های پیچیده هستند. ایدهٔ اصلی این گونه

شبکه‌ها الهام‌گرفته از شیوه کارکرد دستگاه عصبی-زیستی،

برای پردازش داده‌ها، و اطلاعات برای یادگیری و ایجاد دانش

است. عنصر کلیدی این ایده، ایجاد ساختارهایی جدید برای

1 Artificial Neural Networks (ANN)

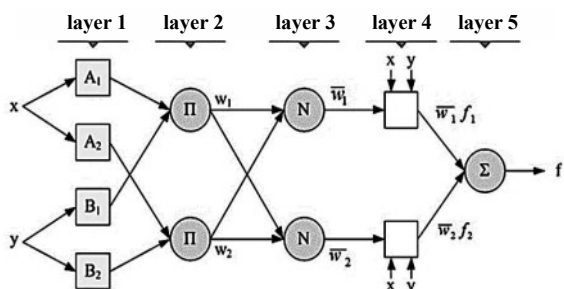
· Artificial Neural Network (ANN)

۲-۱-۶-۲- الگوسازی با استفاده از شبکه فازی-عصبی

تطبیقی

سامانه‌های فازی برای نخستین بار توسط پروفسور لطفی‌زاده در سال ۱۹۶۵ معرفی و از آن پس، در الگوسازی و نظارت بر بسیاری از فرآیندهای صنعتی استفاده شد [54]. بزرگ‌ترین مشکل در طراحی این سامانه‌ها چگونگی انتخاب قوانین فازی است. برای حل این موضوع می‌توان از شبکه‌های فازی-عصبی (ANFIS) استفاده و شاخصه‌های مربوط به قوانین فازی را با استفاده از خاصیت یادگیری شبکه‌های عصبی در هر تکرار، تنظیم کرد. درواقع، منطق فازی می‌تواند با عدم قطعیت‌های ساختاری و شاخصه‌ای در سامانه‌های غیرخطی مقابله کند.

ساختار شبکه ANFIS با پنج لایه، در شکل (۶) نشان داده شده است. لایه نخست دارای گره‌های قابل تنظیم است که به طور معمول توابع تعلق مربوط به آن‌ها به صورت گاوی‌سی یا زنگوله‌شکل، با مقدار بیشینه‌ای برابر یک و کمینه‌ای برابر صفر هستند. شاخصه‌های توابع تعلق که همان شاخصه‌های مقدمه قوانین فازی هستند، بر اساس توصیف زبانی مربوط به متغیرها و زیرفضاهای فازی و بر اساس روش هایبرید تنظیم می‌شوند. گره‌های لایه دوم، ثابت در نظر گرفته می‌شوند. این گره‌ها دو سیگنال ورودی را در هم ضرب کرده و حاصل را به عنوان خروجی تحویل شبکه می‌دهند. سیگنال‌های ورودی این گره‌ها درواقع میزان سازگاری ورودی با هریک از توابع تعلق و خروجی آن‌ها، وزن مربوط به هریک از قوانین است. گره‌های لایه سوم نیز ثابت و وظیفه آن‌ها محاسبه وزن هنجارسازی شده هریک از قوانین است. گره‌های لایه چهارم، وزن هنجارسازی شده هریک از قوانین فازی را در خروجی بخش مؤخره آن قانون ضرب و تنها گره لایه پنجم نیز تمامی سیگنال‌های خروجی از گره‌های لایه چهارم را جمع می‌کند و به عنوان خروجی شبکه تحویل می‌دهد [55].



شکل-۶): ساختار کلی شبکه فازی-عصبی (ANFIS)
(Figure-6): General structure of the ANFIS

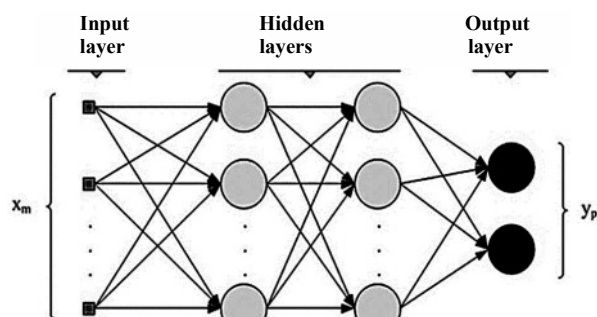
به روزرسانی وزن‌ها و ...، پرهیز شده و در ادامه تنها به معرفی مختصر شبکه‌های MLP و ANFIS و سپس به نحوه عملکرد و ذکر شاخصه‌های آن‌ها پرداخته شده است.

۲-۱-۶-۱- الگوسازی با استفاده از شبکه عصبی

یکی از پایه‌ای ترین الگوهای عصبی موجود، الگوی پرسپترون چندلایه^۱ یا به اختصار (MLP) است که عملکرد انتقالی مغز انسان را شبیه‌سازی می‌کند. هریک از سلول‌های عصبی مغز انسان، موسوم به نورون (Neuron)، پس از دریافت ورودی (از یک سلول عصبی یا غیر‌عصبی دیگر)، پردازشی روی آن انجام و نتیجه را به یک سلول دیگر (عصبی یا غیر‌عصبی) انتقال می‌دهد. این رفتار تا حصول نتیجه‌های مشخص ادامه دارد که به احتمال منجر به یک تصمیم، پردازش، تفکر یا حرکت خواهد شد.

شبکه MLP مجموعه‌ای از نورون‌های پایه است که در سه لایه قرار می‌گیرند. این سه لایه با نام‌های لایه ورودی^۲، لایه پنهان^۳ و لایه خروجی^۴ شناخته می‌شوند. شبکه یک شبکه با ساختار روبه‌جلو^۵ است. این نوع شبکه، یک شبکه باناظر محسوب می‌شود. به عبارت دیگر، برای آموزش این شبکه علاوه‌بر داده‌های آموزشی (ورودی شبکه)، خروجی درست آن‌ها نیز باید به شبکه آموزش داده شود. ساختار این نوع شبکه در شکل (۵) نشان داده شده است.

با درنظر گرفتن دقت و سرعت در پردازش با اتخاذ روش‌های مختلف برای الگوسازی، جهت انجام فرآیند آموزش از روش لونبرگ-مارکوارت [53] استفاده شده و هم‌چنین، تعداد نورون‌های لایه مخفی برابر با چهل و کمینه خطای مطلوب^۶ است.



شکل-۵): ساختار کلی شبکه عصبی (MLP)
(Figure-5): General structure of the ANN

^۱ Multi-Layer Perceptron

^۲ Input Layer

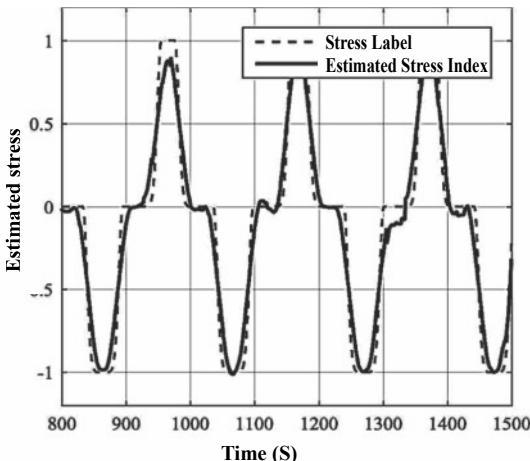
^۳ Hidden Layer

^۴ Output Layer

^۵ Feed Forward



گزارش شده است، شبکه ANFIS با میزان ۹۱/۹۲٪ همبستگی با خروجی حقیقی، میانگین خطای ۰/۰۰۷ و انحراف معیار خطای ۰/۲۴۵ عملکرد بهتری نسبت به شبکه MLP داشته است.



(شکل-۸): نتایج تخمین استرس با استفاده از ANFIS بر روی داده های آموزش و آزمون

(Figure- 8): Stress estimation results using ANFIS for the train and test data

(جدول ۲): میانگین نتایج الگوسازی برای ۵ بار تکرار الگوریتم های سنجش استرس

(Table- 2): Average results of modeling for 10 iteration of the stress detection algorithms

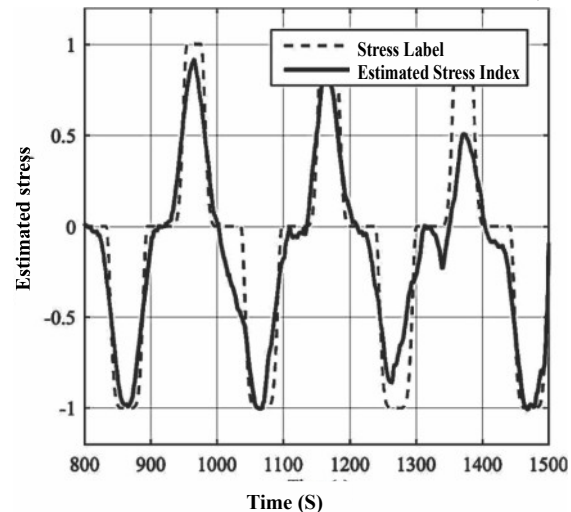
نام الگوریتم	میانگین خطای	میانگین خطای	میانگین خطای	میانگین خطای	میانگین خطای
0.2910	0.078	83.63%	شبکه عصبی MLP	۱	
0.245	0.007	91.92%	ANFIS	۲	

۲-۲- طراحی و ساخت دستگاه

در این قسمت، به تشریح مراحل طراحی و ساخت سخت افزاری و نرم افزاری سامانه قابل حمل سنجش و پایش پیوسته استرس پرداخته شده است. این دستگاه علاوه بر سیگنال های سیم دار و بی سیم، نمایش پیوسته سیگنال ها، قابلیت شبیه سازی مجدد فرآیند دریافت و پردازش سیگنال، ضبط و پخش صدا، ذخیره اطلاعات شخصی افراد، امکان پرسش و پاسخ هنگام دریافت سیگنال، قابلیت اضافه کردن برچسب و نکات بر روی سیگنال ها در زمان های مشخص و بسیاری از موارد دیگر، است. هدف از ساخت این دستگاه نیز

یکی از نکات بسیار مهم در طراحی سامانه های فازی، انتخاب تعداد مناسب قواعد است. انتخاب تعداد زیادی از قواعد باعث پیچیده شدن سامانه می شود و انتخاب تعداد کمی از قواعد ممکن است، سامانه فازی ضعیفی را ایجاد کند که اهداف موردنظر را تأمین نمی کند. در این قسمت، تعداد قواعد، به عنوان یک شاخصه مهم در سامانه های فازی در نظر گرفته شده و بر اساس زوج های ورودی- خروجی و خطای الگوسازی، تعیین می شود. علت اصلی خوش بندی، گروه بندی زوج های ورودی- خروجی در دسته های مختلف و استفاده از یک قاعده یا قانون فازی برای هر دسته است. درنهایت، تعداد قواعد متناسب با تعداد خوش ها خواهد بود. از نظر مفهومی، خوش بندی به معنی افزایش داده ها به زیر مجموعه ها یا خوش های مجزا است؛ به نحوی که داده های یک خوش تا حد امکان به هم شبیه و در عین حال متفاوت از داده های خوش های دیگر باشند [۵۶].

در این پژوهش، با توجه به اهمیت دقیق و سرعت الگوسازی، از روش خوش بندی کاهاشی استفاده شده است. همچنین، کمینه خطای مطلوب برابر با 10^{-5} ، نوع توابع عضویت، گوسی و بیشینه تعداد تکرار الگوریتم آموزش^۱، برابر با پنجاه در نظر گرفته شده است.



(شکل-۷): نتیجه تخمین استرس با استفاده از شبکه عصبی MLP با یک لایه مخفی بر روی داده های آموزش و آزمون

(Figure-7): Stress estimation results using MLP with one hidden layer for the train and test data

۲-۱-۷- نتایج و ارزیابی الگوسازی

در جدول (۲) میانگین نتایج ده بار تکرار، برای الگوریتم های الگوسازی استرس ذکر شده است. همان طور که واضح است، با توجه به شکل (۷)، شکل (۸) و نتایجی که در جدول (۲)

^۱ Epoch



(شکل-۱۱): سامانه اخذ سیگنال‌های فیزیولوژیکی بدون سیم (بلوتوث)
(Figure-11): Wireless sensor system (Bluetooth)

سامانه حسگرهای مورداستفاده در دستگاه ساخته شده به دو شکل سیم‌دار و بدون سیم است که در نوع بدون سیم آن، داده‌های دریافت شده از طریق بلوتوث به پردازنده مرکزی ارسال می‌شود. سیگنال PPG، در مژول‌های سیم‌دار از نوک انگشتان (شکل-۱۰) و در مژول‌های بدون سیم، از روی مج اندازه‌گیری می‌شود (شکل-۱۱). در این حسگرهای، به طور معمول از یک منبع نوری (دیود نورانی یا مادون قرمز)، به عنوان فرستنده و از سلول فتووالکتریک برای تبدیل نور عبوری به سیگنال الکتریکی استفاده می‌شود.

برای اندازه‌گیری هدایت الکتریکی پوست، به دو نقطه از پوست یک ولتاژ ثابت اعمال می‌شود و متناسب با هدایت الکتریکی پوست یک جریان الکتریکی از آن عبور می‌کند. با اندازه‌گیری این جریان می‌توان مقاومت و یا هدایت الکتریکی پوست را اندازه‌گیری کرد. الکترود اندازه‌گیری GSR در شکل (۱۰) نمایش داده شده است.

۲-۲-۱-۲- پردازنده اصلی و مژول‌های وابسته به آن
امروزه پیدایش هسته‌های پردازشی ۳۲ بیتی مانند ARM، جهش قابل توجهی در طراحی و ساخت انواع سامانه‌های بلاذرنگ، نهفته^۱ و هوشمند ایجاد کرده است. بنابراین، با توجه به این که هدف از انجام این پژوهش نیز، طراحی سامانه‌ای قابل حمل و قدرتمند برای انجام پردازش‌های مناسب است، میکروکنترلر ARM انتخاب شده است. این میکروکنترلر بر روی بستر سخت‌افزاری^۲ به نام BeagleBoneBlack، که با اختصار BBB نامیده می‌شود، قرار گرفته است. BBB یک برد توسعه ارزان قیمت برای توسعه دهنده‌گان و برنامه‌نویسان در حوزه سامانه‌های نهفته مبتنی بر پردازنده ARM-CortexA8 و میکروکنترلری ۳۲ بیتی با فرکانس کاری یک گیگاهرتز است. این پلتفرم دارای ۵۱۲ مگابایت رم DDR3، ۴ گیگابایت حافظه داخلی (eMMC)، شتاب‌دهنده گرافیکی و

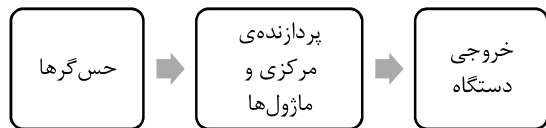
¹ Embedded

² Plattform

ایجاد پلتفرمی جهت پیاده‌سازی الگوریتم‌های تشخیص و پایش استرس بر مبنای روش‌های یادگیری ماشین و شبکه‌های عصبی مصنوعی است. این سامانه را می‌توان از دو جنبه سخت‌افزاری و نرم‌افزاری بررسی کرد.

۲-۲-۱- سخت افزار

امروزه سامانه‌های هوشمند قابل حمل، بخش جداناپذیری از زندگی هر فرد شده و در این بین دستگاه‌های سلامت شخصی نیز جایگاه مناسبی در زندگی افراد پیدا کرده‌اند. از ویژگی‌های این نوع دستگاه‌ها، وزن کم، ابعاد مناسب، باتری‌های قابل شارژ و بالظرفیت و البته رابط کاربری مناسب و راحت است. بنابراین سعی شده تا دستگاه سنجش استرس مورد بحث در این پژوهش نیز چنین ویژگی‌هایی را داشته باشد. اجزای سامانه موردنظر در شکل (۹) نشان داده شده است.



(شکل-۹): بخش‌های مختلف سخت‌افزاری دستگاه

(Figure-9): Hardware parts of the system

همان‌طور که در شکل (۹) مشاهده می‌کنید، این سامانه دارای سه بخش اصلی شامل حسگرهای پردازنده مرکزی و مژول‌های وابسته به آن و قسمت خروجی دستگاه است. در ادامه، به تشریح این سه بخش پرداخته شده است.

۲-۲-۱-۱- حسگرها

به منظور دریافت سیگنال‌های PPG و GSR از سامانه ثبت دو کاناله پژوهشگاه توسعه فناوری‌های پیشرفته (خواجه نصیرالدین طوسی) استفاده شده است. سخت‌افزار اصلی این مژول‌ها شامل چهار قسمت اصلی است که عبارت‌اند از پراب و الکترود‌های اندازه‌گیری سیگنال‌های حیاتی، مدار تغذیه، مدار آنالوگ و مدار دیجیتال.



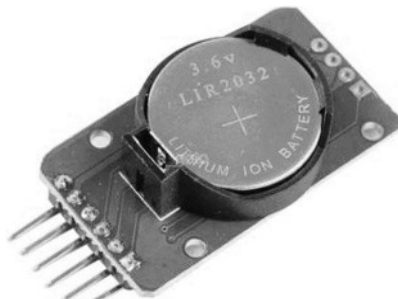
(شکل-۱۰): نحوه اتصال حسگرهای به انگشتان، در سامانه

درباره سیگنال‌های فیزیولوژیکی سیم‌دار

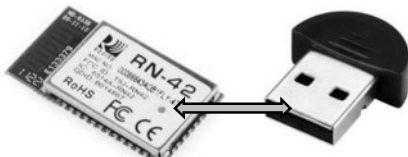
(Figure-10): Wired sensor connection method



سریال است. RFCOMM لایه‌های پایینی پروتکل bluetooth را به لایه L2CAP متصل می‌کند. وظیفه ایجاد ارتباط RFCOMM در حس‌گرهای بدون سیم، بر عهده مژوول RN42 و در دستگاه استرسنچ ساخته شده، بر عهده دانگل بلوتوث ورژن سه است که در شکل (۱۵) نشان داده است.



(شکل-۱۴): مژوول DS3231 و باطری پشتیبان آن
(Figure-14): DS3231 module and backup battery



(شکل-۱۵): فرستنده و گیرنده‌های بلوتوث
(Figure-15): Bluetooth transmitter and receiver module

برای فراهم‌آوردن امکان نمایش رابط کاربری و صفحهٔ لمسی، از یک مژوول صفحه‌نمایش ۴/۳ اینچی با صفحهٔ لمسی مقاومتی استفاده شده است. این صفحه‌نمایش، دارای وضوح تصویر ۴۸۰ در ۲۷۲ پیکسل است که بر روی ۴۶ پایه ورودی و خروجی برد قرار می‌گیرد و در شکل (۱۶) نشان داده شده است.



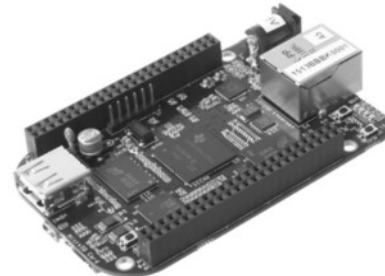
(شکل-۱۶): مژوول نمایش گر CS-BBB-EXP43
(Figure-16): CS-BBB-EXP43 monitor module

۲-۲-۲- نرم‌افزار و رابط کاربری

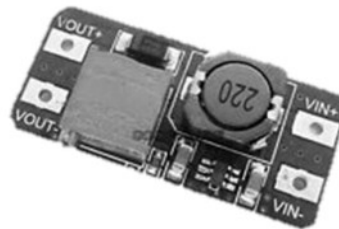
یکی از مسائلی که موجب ایجاد سهولت در استفاده از یک دستگاه می‌شود، علاوه بر وزن، زیبایی ظاهری و سخت‌افزار مناسب آن، مسأله رابط کاربری دستگاه است. در طراحی رابط

شتاب‌دهنده ممیز شناور NEON است؛ همچنین، این پلتفرم چهار نوع ورودی و خروجی به نام‌های ارتباط USB جهت برقراری ارتباط و همچنین تأمین ولتاژ، Ethernet، HDMI و ۴۶ ورودی و خروجی همه‌منظوره دارد.

به‌منظور تأمین انرژی دستگاه، از باتری لیتیوم-پلیمر با ظرفیت اسمی، ۴۲۰۰ میلی‌آمپر ساعت و ولتاژ ۳/۷ ولت و به‌منظور فراهم‌آوردن ولتاژ مناسب کاری دستگاه از یک مبدل DC/DC افزاینده یا Boost Converter، بر پایه آی‌اسی رگولاتور MAX756 استفاده شده است. این مبدل افزاینده که در (شکل-۱۳-۱۳) نشان داده شده است، در ورودی خود ولتاژ DC از ۰/۹ تا ۵ ولت دریافت و در خروجی، یک ولتاژ ۵ ولت رگوله شده و ثابت ایجاد می‌کند.



(شکل-۱۲): برد توسعه BeagleBoneBlack
(Figure-12): BeagleBoneBlack evaluation board



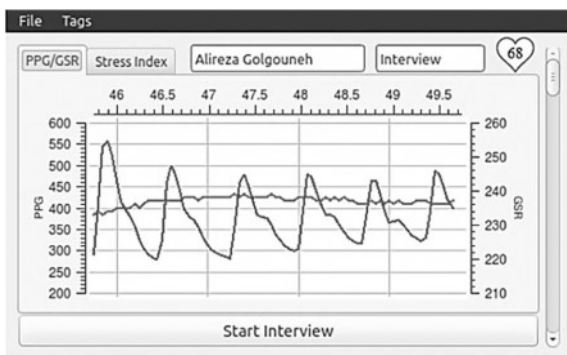
(شکل-۱۳): مژوول مبدل ولتاژ
(Figure-13): Voltage convertor module

به‌طور معمول، در رایانه‌ها یا سامانه‌های قابل حمل زمان حقيقی را با اتصال به اینترنت، یا با استفاده از آی‌اسی‌های زمان واقعی، می‌توان حفظ کرد. در این دستگاه نیز، به‌منظور حفظ زمان واقعی ثبت‌های دریافت‌شده از سوزه‌های مختلف، از مژوول RTC^۱ استفاده شده است. مژوول DS3231 (شکل-۱۴)، یکی از دقیق‌ترین انواع آن در حفظ زمان است که می‌تواند از طریق پروتکل I2C با BBB ارتباط داشته باشد.

استفاده از حس‌گرهای بی‌سیم، نیازمند پروتکلی است که بتوان به‌وسیله آن داده‌ها را انتقال داد. این پروتکل که RS-232 نام دارد، تنظیمات کابلی RS-232 را در حالت بدون سیم شبیه‌سازی می‌کند و مناسب برای انتقال داده‌های

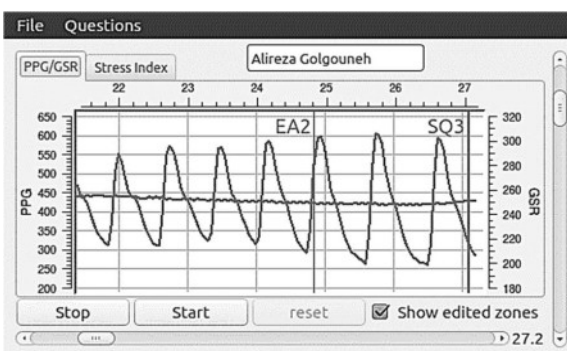
^۱ Real-time clock

سؤالات و پخش صدای ذخیره شده هنگام مصاحبه است
(شکل-۱۸).



(شکل-۱۷): ثبت سیگنال‌ها و سنجش بلاذرنگ استرس

(Figure-17): Signal recording and real-time stress measurement

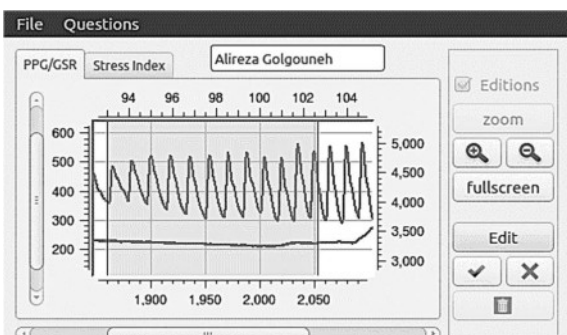


(شکل-۱۸): فرم شبیه‌سازی مجدد مصاحبه

(Figure-18): Simulation of the recorded interview

۲-۲-۲-۳- بازنگری اطلاعات و سیگنال‌ها در حالت آفلاین

یکی دیگر از بخش‌های این رابط کاربری مشاهده آفلاین سیگنال‌ها و ویرایش بخشی از سیگنال‌هاست. بدین منظور، کاربر، پس از انتخاب حالت آفلاین و پس از انتخاب مصاحبه مورد نظر به فرم نشان داده شده در شکل (۱۹)، وارد می‌شود. در این قسمت، امکاناتی نظیر نشانه‌گذاری، ویرایش، مشاهده و بررسی دقیق‌تر قسمتی از سیگنال و غیره وجود دارد که می‌توان در مورد ثابت‌های دریافتی این امکانات را به کار بست.



(شکل-۱۹): فرم ویرایش آفلاین سیگنال‌ها و شاخص استرسی

(Figure-19): Offline editing of the signals and stress index

کاربری دستگاه ساخته شده در این پژوهش، از زبان C++ و کتابخانه Qt استفاده شده است. همچنین، به منظور تفسیر کدهای برنامه، به کدهای قابل فهم توسط پردازنده ARM، از gcc-linaro-arm- روش کامپایل عبوری^۱ با زنجیره ابزار^۲ linux-gnueabihf-4.9 برنامه یا مجموعه‌ای از برنامه‌های رایانه‌ای است که متنی از زبان برنامه‌نویسی سطح بالا (زبان مبدأ) را به زبانی سطح پایین (زبان مقصد)، مثل اسملی یا زبان سطح ماشین، تبدیل می‌کند. رابط کاربری این دستگاه، دارای سه بخش اصلی مختصراً درباره قسمت داده شده است.

۱-۲-۲-۲- ثبت سیگنال‌ها و سنجش بلاذرنگ استرس
در بخش Real Time یا بلاذرنگ، ابتدا اطلاعات شخصی کاربر تکمیل و ذخیره می‌شود. از آن جاکه این دستگاه می‌تواند در دو حوزه استرس‌سنجی و یا دروغ‌سنجی استفاده شود، کارشناس استرس‌سنج می‌تواند در این قسمت، سؤالاتی را تعیین کند تا هنگام مصاحبه از فرد پرسیده شود. یکی دیگر از امکانات این بخش، انتخاب نوع حس‌گر از لحاظ سیم‌دار یا بدون سیم بودن است.

پس از انجام مراحل ذکر شده و وارد کردن اطلاعات کاربر و انتخاب نوع حس‌گر، صفحه بعدی رابط کاربری ظاهر می‌شود. این صفحه از دو زبانه PPG/GSR و GSR (رنگ آبی) تشکیل شده است (شکل-۱۷). در زبانه PPG/GSR، علاوه بر نمایش ضربان قلب، سیگنال‌های PPG (رنگ آبی) و GSR (رنگ قرمز) اخذ، ثبت و نمایش داده می‌شوند و پس از گذشت بیست ثانیه از شروع ثبت، الگوریتم سنجش استرس نیز شروع به پردازش سیگنال‌ها کرده و در زبانه Stress Index میزان شاخص استرسی به صورت یک نمودار پیوسته نمایش داده می‌شود. در این قسمت در زمان‌های معین برچسب‌های پیش‌فرضی را به سیگنال‌ها اضافه یا هنگام ثبت استرسی، صدای محیط یا کاربر را می‌توان ذخیره کرد.

۲-۲-۲- شبیه‌سازی مجدد یک ثبت استرسی

در بخش Simulation رابط کاربری، ثبت‌های دریافت شده را می‌توان شبیه‌سازی کرد؛ منظور از شبیه‌سازی، نمایش مجدد سیگنال‌ها، شاخص استرسی تخمین‌زده شده، برچسب‌های اضافه شده به سیگنال‌ها در هنگام ثبت، زمان پرسش و پاسخ

^۱Cross-Compile

^۲Toolchain



استرس در فرد ادامه پیدا کند، باعث بروز مشکلاتی خواهد شد که علاوه‌بر اثرات روانی، پیامدهای جسمی بی‌شماری از جمله سکته‌های مغزی، قلبی، فشارخون، پوکی استخوان، رخم معده و بیماری‌های روحی-رفتاری دارد، هیچ عضو یا ارگانی از بدن از اثرات استرس در امان نیست. از این‌رو ساخت یک پلتفرم یا ارائه روشی که به وسیله آن بتوان میزان استرس فرد را سنجید و به‌منظور کاهش آن، به فرد بازخورد داد، ضروری و مفید است.

هدف اصلی با کمک این پژوهش، طراحی و ساخت پلتفرمی ساده، قابل حمل و کاربرپسند برای پیاده‌سازی الگوریتم‌های تشخیص و پایش استرس بر شکه‌های عصبی مصنوعی بود که با کمک آن و استفاده از سیگنال‌های فتوپلیسموگرافی (PPG) و هدایت الکتریکی پوست (GSR)، بتوان استرس فرد را تشخیص داد. بنابراین، در ساخت این دستگاه از پردازنده قدرتمند A8 ARM-Cortex، به‌عنوان پردازنده مرکزی استفاده شد و رابط کاربری و الگوریتم‌های پردازشی، با استفاده از زبان C++ و کتابخانه Qt طراحی و پیاده‌سازی شدند. دستگاه ساخته شده، علاوه‌بر سبک و قابل حمل بودن، دارای امکانات بسیاری نظیر قابلیت تطبیق با حس‌گرهای سیم‌دار و بی‌سیم، نمایش پیوسته سیگنال‌ها، قابلیت شبیه‌سازی مجدد فرآیند دریافت و پردازش سیگنال، ضبط و پخش صدا، ذخیره اطلاعات شخصی افراد، امکان پرسش و پاسخ هنگام دریافت سیگنال، قابلیت اضافه کردن برچسب و نکات بر روی سیگنال‌ها در زمان‌های مشخص و بسیاری از موارد دیگر است.

در این دستگاه، تخمین میزان استرس فرد، به‌صورت شاخصی پیوسته است که با الگوسازی و استفاده از شبکه عصبی MLP تک‌لایه و شبکه فازی عصبی، و استفاده از هشت ویژگی استخراج شده از سیگنال‌های PPG و GSR انجام شده‌است. در مقایسه با شبکه عصبی MLP، شبکه ANFIS عملکرد مناسب‌تری را دارد؛ به‌طوری‌که میانگین همبستگی خروجی داده‌های آزمون با خروجی موردنظر، $91/92\%$ با میانگین و انحراف معیار $0/007$ و $0/245$ بوده‌است. بنابراین، از این نوع الگو به‌عنوان سنجش‌گر میزان استرس استفاده شده‌است. نتایج به‌دست‌آمده، که در بخش‌های قبل به‌تفصیل بحث شد، بیان‌گر کارآیی مناسب سامانه و روش توسعه‌داده شده در این پژوهش، به‌منظور سنجش استرس بر مبنای سیگنال‌های حیاتی است.

۲-۲-۴- نحوه ثبت و انتقال اطلاعات به رایانه یا دستگاهی دیگر

از آنجا که ممکن است، نیاز به استفاده از ثبت‌های استرسی انجام‌شده، در پژوهش‌های دیگر، یا در دستگاه مشابهی باشد، باید، این امکان وجود داشته باشد تا بتوان به‌راحتی، تمامی اطلاعات را از دستگاه خارج و به رایانه یا دستگاه دیگری منتقل کرد. بدین‌منظور، رابط کاربری به‌نحوی برنامه‌نویسی شده‌است که تمامی اطلاعات هر ثبت که شامل اطلاعات شخصی، برچسب‌های زده شده بر روی سیگنال، شروع و پایان هر سؤال، فایل صوتی مصاحب، داده‌های خام دریافت‌شده از حس‌گرها، سیگنال‌های دریافت‌شده و میزان شاخص استرسی تخمین‌زده شده، هستند، در پوشاهی جداگانه که با نامی مشکل از نام و نام خانوادگی فرد و زمان و تاریخ شروع ثبت، ذخیره می‌شود.

۲-۲-۳- طراحی و ساخت قاب دستگاه

یکی از بخش‌های اصلی سخت‌افزاری، طراحی قابی مناسب است که علاوه‌بر زیبایی و ابعاد مناسب، بتواند مازول‌ها و تمامی سخت‌افزارها را در برگیرد و به‌راحتی قابل حمل باشد. در راستای این هدف، تمامی طراحی‌ها در نرم‌افزار سالیدورکس^۱ ۲۰۱۳ انجام شده‌است. به‌طور خلاصه، می‌توان مراحل طراحی و ساخت قاب دستگاه را به‌صورت زیر خلاصه کرد:

۱. طراحی مکانیکی (CAD) مازول‌ها و پردازنده مرکزی و اجزای مختلف دستگاه در نرم‌افزار Solidworks
۲. چینش CAD قطعات با درنظر گرفتن ابعاد و جنبه ارگonomی
۳. طراحی قاب (CAD) دستگاه
۴. پرینت سه‌بعدی قاب دستگاه
۵. مونتاژ اجزای مختلف دستگاه

۳- نتیجه‌گیری

با توجه به نفوذ استرس در جنبه‌های گوناگون زندگی برخلاف امروز، باید آن را به‌عنوان بخشی از زندگی امروز به‌شمار آورد. می‌توان گفت استرس عبارت است از نوعی حالت اضطراب و فشار درونی که انسان هنگام مواجه شدن با خطر یا مشکلی جدی، با ترشح هورمون‌هایی خود را برای مقابله با آن‌ها آماده می‌کند که برای روند زندگی ضروری نیز است؛ اما اگر این

^۱ Solidworks

سپاس‌گزاری

از پژوهشگاه توسعه فناوری‌های پیشرفته خواجه‌نصیرالدین طوسي که حس‌گرهای مناسب و داده‌های ذخیره‌شده و معتبر را از سیگنال‌ها و همچنین راهنمایی‌های لازم را در مورد بردازش و تحلیل سیگنال‌ها در اختیار ما قرار دادند، کمال سپاس‌گزاری می‌شود.

۴- مراجع

- [11] A. Muaremi, B. Arnrich, and G. Tröster, "Towards Measuring Stress with Smartphones and Wearable Devices During Workday and Sleep," *Bionanoscience*, vol. 3, no. 2, pp. 172–183, 2013.
- [12] C. Epp, M. Lippold, and R. L. Mandryk, "Identifying emotional states using keystroke dynamics," in *Proceedings of the SIGCHI Conference on Human Factors in Computing Systems*, pp. 715–724, 2011.
- [13] D. F. Dinges et al., "Optical computer recognition of facial expressions associated with stress induced by performance demands," *Aviat. Space. Environ. Med.*, vol. 76, no. 6 Suppl, pp. B172-82, 2005.
- [14] A. Alberdi, A. Aztiria, and A. Basarab, "Towards an automatic early stress recognition system for office environments based on multimodal measurements: A review," *J. Biomed. Inform.*, vol. 59, pp. 49–75, 2016.
- [15] P. Zimmermann, S. Guttormsen, B. Danuser, and P. Gomez, "Affective computing—A rationale for measuring mood with mouse and keyboard," *Int. J. Occup. Saf. Ergon.*, vol. 9, no. 4, pp. 539–551, 2003.
- [16] M. Garbarino, M. Lai, D. Bender, R. W. Picard, and S. Tognetti, "Empatica E3—A wearable wireless multi-sensor device for real-time computerized biofeedback and data acquisition," in *Wireless Mobile Communication and Healthcare (Mobihealth), 2014 EAI 4th International Conference on*, pp. 39–42, 2014..
- [17] A. Golgouneh, A. Bamshad, B. Tarvirdizadeh, and F. Tajdari, "Design of a new, light and portable mechanism for knee CPM machine with a user-friendly interface," In *Artificial Intelligence and Robotics (IRANOPEN)*, pp. 103–108. IEEE, 2016
- [18] B. Cinaz, B. Arnrich, R. La Marca, and G. Tröster, "Monitoring of mental workload levels during an everyday life office-work scenario," *Pers. ubiquitous Comput.*, vol. 17, no. 2, pp. 229–239, 2013.
- [19] ر. عارفی شیروانی، م. خلیلزاده و و. سعادتیان، "مقایسه تحلیل خطی و غیرخطی سیگنال تعییرات نرخ ضربان قلب به‌منظور کمی‌سازی سطح استرس با استفاده از الگوریتم تکاملی و شبکه عصبی،" پژوهش علوم و داده، جلد ۵، شماره ۲، شماره صفحات ۲۹-۴۰، سال ۸۷
- [19] R.A. Shirvan, M.A. Khalilzadeh, S.E. Tahami, and V. Saadatian, "Comparision of linear and nonlinear feaauturs of heart rate variability signal to quantification of stress level using genetic algorithm and neural network," *Signal and Data Processing*, vol. 5, no. 2, p.p. 29-40, 2009.
- [20] C. Maaoui, A. Pruski, and F. Abdal, "Emotion

فصلنامه

- Trans.*, vol. 6, no. 2, pp. 156–166, 2005.
- [33] J. Hernandez, P. Paredes, A. Roseway, and M. Czerwinski, “Under pressure: sensing stress of computer users,” in *Proceedings of the SIGCHI conference on Human factors in computing systems*, pp. 51–60, 2014.
- [34] F.-T. Sun, C. Kuo, H.-T. Cheng, S. Buthpitiya, P. Collins, and M. Griss, “Activity-aware mental stress detection using physiological sensors,” in *International Conference on Mobile Computing, Applications, and Services*, 2010, pp. 211–230.
- [35] C. Setz, B. Arnrich, J. Schumm, R. La Marca, G. Tröster, and U. Ehlert, “Discriminating stress from cognitive load using a wearable EDA device,” *IEEE Trans. Inf. Technol. Biomed.*, vol. 14, no. 2, pp. 410–417, 2010.
- [36] A. de Santos Sierra, C. S. Ávila, J. G. Casanova, and G. B. Del Pozo, “A stress-detection system based on physiological signals and fuzzy logic,” *Ind. Electron. IEEE Trans.*, vol. 58, no. 10, pp. 4857–4865, 2011.
- [37] ر. عارفی شیروانی، م. خلیلزاده، ”پردازش و تحلیل سیگنال فتوپلئسموگراف و تغییرات نرخ ضربان قلب به منظور تعیین سطح استرس،“ شانزدهمین کنفرانس مهندسی برق، ۱۳۸۷.
- [37]. R.A. Shirvan, M.A. Khalilzadeh, “Process and analysis of the photoplethysmography and heart rate variability signals to determine stress level,” *16th Iranian Conference on Electrical Engineering*, 2008.
- [38] ا. درخشان، م. خلیلزاده، م. آذرنوش، ا. محمدیان، [38] ”ارزیابی تغییرات سطح استرس با استفاده از تصویربرداری حرارتی چهره،“ شانزدهمین کنفرانس مهندسی پزشکی ایران، ۱۳۸۷.
- [38]. A. Derakhshan, M.A. Khalilzadeh, M. Azarnoosh, A. Mohammadian, “Evaluate the changes in stress level using facial thermal imaging,” *16th Iranian conference on Biomedical Engineering*, 2008.
- [39] K. Frank, P. Robertson, M. Gross, and K. Wiesner, “Sensor-based identification of human stress levels,” in *Pervasive Computing and Communications Workshops (PERCOM Workshops), 2013 IEEE International Conference on*, pp. 127–132, 2013.
- [40] M. Morris and F. Guilak, “Mobile heart health: project highlight,” *IEEE Pervasive Comput.*, vol. 8, no. 2, pp. 57–61, 2009.
- [41] V. Alexandratos, M. Bulut, and R. Jasinschi, “Mobile real-time arousal detection,” in *2014 IEEE International Conference on Acoustics, Speech and Signal Processing (ICASSP)*, pp. 4394–4398, 2014.
- recognition for human-machine communication,” in *Intelligent Robots and Systems, 2008. IROS 2008. IEEE/RSJ Inter-national Conference on*, pp. 1210–1215, 2008.
- [21] M. T. Quazi, S. C. Mukhopadhyay, N. K. Suryadevara, and Y. M. Huang, “Towards the smart sensors based human emotion recognition,” in *Instrumentation and Measurement Technology Conference (I2MTC), 2012 IEEE International*, pp. 2365–2370, 2012.
- [22] K. Palanisamy, M. Murugappan, and S. Yaacob, “Multiple physiological signal-based human stress identification using non-linear classifiers,” *Elektron. ir Elektrotehnika*, vol. 19, no. 7, pp. 80–85, 2013.
- [23] J. Wijsman, B. Grundlehner, J. Penders, and H. Hermens, “Trapezius muscle EMG as predictor of mental stress,” in *Wireless Health 2010*, pp. 155–163, 2010.
- [24] S.-H. Seo, J.-T. Lee, and M. Crisan, “Stress and EEG. Convergence and hybrid information technologies,” *InTech*. Available from <http://www.intechopen.com/books/Converg.Stress.>, 2010.
- [25] Y. Shi, M. Nguyen, P. Blitz, and B. French, “Personalized stress detection from physiological measurements,” *Int. Symp. Qual. Life Technol.*, no. September 2015, pp. 28–29, 2010.
- [26] C. Z. Wei, “Stress emotion recognition based on RSP and EMG signals,” in *Advanced Materials Research*, 2013, vol. 709, pp. 827–831.
- [27] J. Zhai and A. Barreto, “Stress detection in computer users based on digital signal processing of noninvasive physiological variables,” in *Engineering in Medicine and Biology Society, 2006. EMBS'06. 28th Annual International Conference of the IEEE*, pp. 1355–1358, 2006.
- [28] V. Jeyhani, S. Mahdiani, M. Peltokangas, and A. Vehkaoja, “Comparison of HRV parameters derived from photoplethysmography and electrocardiography signals,” in *2015 37th Annual International Conference of the IEEE Engineering in Medicine and Biology Society (EMBC)*, 2015, pp. 5952–5955.
- [29] J. Peuscher, “Galvanic skin response (GSR),” 2In: TMSi. 2012.
- [30] K. Peternel, M. Pogačnik, R. Tavčar, and A. Kos, “A presence-based context-aware chronic stress recognition system,” *Sensors*, vol. 12, no. 11, pp. 15888–15906, 2012.
- [31] K. Asai, “The Role of Head-Up Display in Computer-Assisted Instruction,” *arXiv Prepr. arXiv1001.0420*, 2010.
- [32] J. A. Healey and R. W. Picard, “Detecting stress during real-world driving tasks using physiological sensors,” *Intell. Transp. Syst. IEEE*

- [55] J.-S. Jang, "ANFIS: adaptive-network-based fuzzy inference system," *IEEE Trans. Syst. Man. Cybern.*, vol. 23, no. 3, pp. 665–685, 1993.
- [56] L.-X. Wang, "A Course in Fuzzy Systems and Control, Prentice-Hall PTR," Englewood Cliffs, NJ, 1997.
- [57] M. Saidi, H. Hassanpoor, and A. Azizi Lari, "Proposed new sign al for real-time stress monitoring: Combination of physiological measures," *AUT J. Electr. Eng.*, vol. 49, no. 1, pp. 11–18, 2017.



علیرضا گل‌گونه تحصیلات خود را در
قطع کارشناسی، در سال ۱۳۹۲ در
رشته مهندسی مکانیک بایوسیستم در
دانشگاه تهران به پایان رساند؛ سپس
به عنوان دانش آموخته برتر، تحصیلات

خود را در رشته مهندسی مکاترونیک

ادامه داد و در سال ۱۳۹۵ موفق به کسب درجه کارشناسی ارشد از دانشگاه تهران شد. زمینه های پژوهشی مورد علاقه ایشان عبارتند از: سامانه های مکاترونیکی و رباتیکی، پردازش

سیگنال و تصویر، هوش مصنوعی و یادگیری ماشین.

نشانی رایانماء ایشان عبارت است از:

golgouneh@ut.ac.ir



بهرام تارویردی‌زاده تحصیلات خود
در مقطع دکترای تخصصی را در سال
۱۳۹۱ در رشته مهندسی مکانیک،
گرایش طراحی کاربردی، در دانشگاه

تهران سپری کرد. ایشان هم‌اکنون

استادیار دانشکده علوم و فنون نوین

دانشگاه تهران هستند و تخصص اصلی ایشان، مکاترونیک، رباتیک، دینامیک، کنترل و سامانه های Embedded است.

نشانی رایانماء ایشان عبارت است از:

bahram@ut.ac.ir

- [42] "Research Center for Development of Advanced Technologies." [Online]. Available: <http://en.rcdat.ir>.

- [43] J. A. Healey, "Wearable and automotive systems for affect recognition from physiology." Massachusetts Institute of Technology, 2000.

- [44] M. E. Dawson, A. M. Schell, and D. L. Filion, "7 the electrodermal system," *Handb. Psychophysiol.*, vol. 159, 2007.

- [45] M. Bolanos, H. Nazeran, and E. Haltiwanger, "Comparison of heart rate variability signal features derived from electrocardiography and photoplethysmography in healthy individuals," in *Engineering in Medicine and Biology Society, 2006. EMBS'06. 28th Annual International Conference of the IEEE*, pp. 4289–4294, 2006.

- [46] W.-H. Lin, D. Wu, C. Li, H. Zhang, and Y.-T. Zhang, "Comparison of heart rate variability from PPG with that from ECG," in *The International Conference on Health Informatics*, pp. 213–215, 2014.

- [47] J. Rand, A. Hoover, S. Fishel, J. Moss, J. Pappas, and E. Muth, "Real-time correction of heart interbeat intervals," *IEEE Trans. Biomed. Eng.*, vol. 54, no. 5, pp. 946–950, 2007.

- [48] G. G. Berntson and J. R. Stowell, "ECG artifacts and heart period variability: don't miss a beat!," *Psychophysiology*, vol. 35, no. 1, pp. 127–132, 1998.

- [49] P. D. Welch, "The use of fast Fourier transform for the estimation of power spectra: A method based on time averaging over short, modified periodograms," *IEEE Trans. audio Electroacoust.*, vol. 15, no. 2, pp. 70–73, 1967.

- [50] ع. گل‌گونه، "طراحی و ساخت سیستم قابل حمل پایش پیوسته استرس، مبتنی بر پردازنده ARM،" پایان نامه کارشناسی ارشد، دانشگاه تهران، ۱۳۹۵

- [50] A. Golgouneh, "Design and development of a portable system to continuous stress monitoring system using ARM processor," M.S. Thesis, University of Tehran, 2016.

- [51] M. A. Hall, "Correlation-based feature selection of discrete and numeric class machine learning," 2000.

- [52] T. M. Geronimo, C. E. D. Cruz, E. C. Bianchi, F. de Souza Campos, and P. R. Aguiar, "MLP and ANFIS Applied to the Prediction of Hole Diameters in the Drilling Process,". INTECH Open Access Publisher, 2013.

- [53] P. Davis, "Levenberg-marquart methods and nonlinear estimation," *Siam News*, vol. 26, no. 6, pp. 1–12, 1993.

- [54] L. A. Zadeh, "Fuzzy sets," *Inf. Control*, vol. 8, no. 3, pp. 338–353, 1965.

فصلنامه